

II-17 闸水路弯曲部における水理学的特性に関する研究

京都大学工学部 正員 工博 石原藤次郎
京都大学大学院 正員 ○村本 嘉雄

1. 概説 闸水路弯曲部における水流の諸現象は蛇行河川の発達また各種水工構造物の安定性など実用的问题に関連して、固定床および移動床水路において古くから観察されてきた。直線流に比して弯曲部水流の特有な現象として、従来特に研究対象となつてゐるのは(1)横断方向の水深変化、(2)エネルギー損失過程、(3)副流の挙動、(4)最大流速あるいは最大せん断応力の偏り、(5)剥離域の発生などである。以上の諸現象はむしろ相関連したものであるが、現象の多様さから現段階では総括的に把握するに至らなかった。

本研究では弯曲部水流の水理学的特性を把握する一方で、「剥離域の存在する場合と存在しない場合における弯曲部水流の外的、内的現象について」をテーマのもとに現象観察を主として解析を進める。本報告ではその第一段階として(1), (3)の現象に関する実験結果を述べる。

2. 実験装置および実験内容 実験水路は中25cm, 深さ37cmの長方形断面水路で、内壁全面が塩化ビニール滑面よりなる。水路の配置は流入直線部10m → 90° 弯曲部 → 流出直線部4m といふ、直線部のこう配1/500、弯曲部の中心曲率半径(R_c)は25cm, 75cmの二種を用いた。水理条件は $R_c = 25\text{cm}$, 75cmの両ケースともに流量8.52%, 最大方数はそれぞれ0.58, 0.56で全流域常流状態にある。計測内容は水深、流速分布計測。他に、副流、流速分布を測定するためには水平方向に二孔をもつ円柱ピト一管を使用し、また粒子軌跡のストロボ撮影も併せて行なった。

3. 実験結果および考察 本研究を行なうた実験では $R_c = 25\text{cm}$ のケースで弯曲部の内壁角45°の長さ4m剥離域が発達し、一方 $R_c = 75\text{cm}$ のケースでは剥離域が存在しない。つゞいて両ケースによる副流現象および横方向最大水位差について考察する。

3-1. 副流現象 流向計測より得られた流向偏角 δ と主流の流速 U との副流の流速 U_f (= $U \tan \delta$)を求めた結果、両ケースともに弯曲部始点($\theta = 0^\circ$)より順着す副流が発達がみられる。直線水路における類似の水理条件の下で測定した二次流と対比して、その一例を図1に示す。図1より観察された副流の主な特性を列挙するとつぎようである。

(i) 両ケースで分布形状は著しく差違がなく、剥離域の存在のまゝも安定な副流が発達する。

(ii) 底面部の流速は内方へ壁面近くまで増大するが、底面層の増大および内岸の滞留現象は顯著である。

(iii) 上流部の分布形状は水路中心線の内方へ外方へ著しく異り、外方にありて副流は減衰し、直線水路二次流の類似した分布形へ近づく。

以上三者は副流・横方向・流速分布から得られた実験結果が一般性を欠くが、(ii), (iii)のことは従来考えられてゐる副流のモデルにおける主要な特性である。

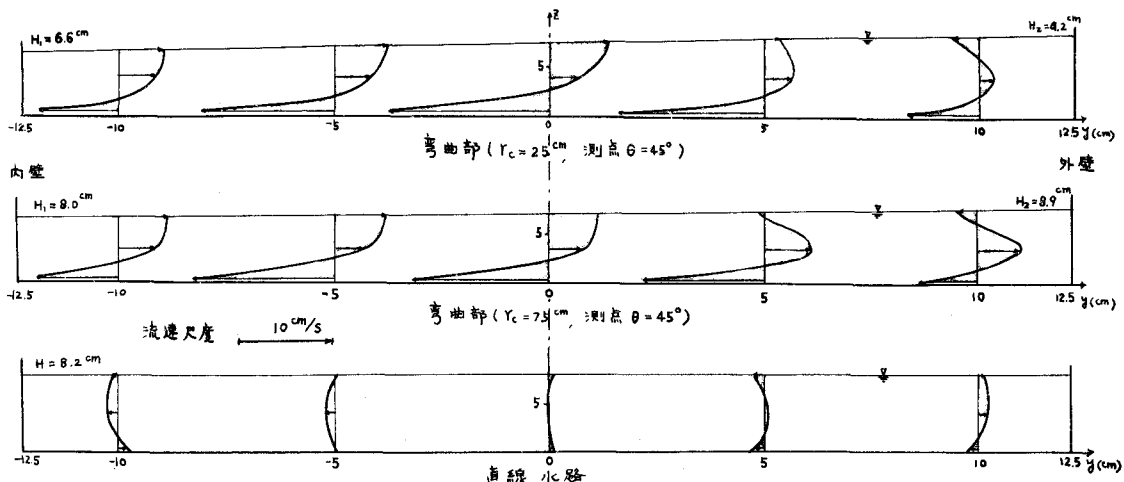


図.1 曲曲部副流および直線水路二次流の流速分布。

つきに、主流、副流のエネルギー比($\frac{V^2}{U^2}$)の流れ方向の変化を $y=-10, 0, 10$ の代表点で描くと図.2のようになる。図.2で両ケースの共通な傾向は副流エネルギーが曲曲部後半で外方より内方に移行し、流出直線部においては内壁近傍で収斂する。また、全流路常流状態におけるても曲曲部の内部現象は上流より下流へ影響が著しい。一方、相違する傾向は $R_c=25\text{cm}$ では副流のエネルギーの減衰が $R_c=75\text{cm}$ に比べて極めて著しい。すなわち、剥離域の存在は流出直線部における副流エネルギーを軽減するものである。

3-2 横方向の最大水位差 曲曲部・最凹部における横 ($\frac{v^2}{U^2}$)

断水面形状を表める際、自由端理論に基づく関係式が用いられるが、この式ではUの自由端分布形 $UR = \text{const.}$ と満足し、副流のエネルギーが無視できるとして前提している。両ケースにおける実験結果を吟味すると、 $R_c=75\text{cm}$ では内壁のせん断応力が支配的でU分布の条件を満たさない。一方、 $R_c=25\text{cm}$ では剥離直前における $UR \neq \text{const.}$ である。図.2によれば3点の副流のエネルギーの絶対値は主流に対する2.8%を示す無視できない。しかし、内外壁の相対値は数%である。水位差の値は自由端の関係式が適合するところまである。自由端理論による水位差は $\Delta H = \frac{C^2}{2g} \left(\frac{1}{R_c^2} - \frac{1}{R_b^2} \right)$ と示される。また、半径方向の比エネルギーが断面平均のエネルギー比等しいことを考慮して、積分定数 $C_1 = U_m \sqrt{R_c^2 - R_b^2 / 4}$ となり、したがって $\Delta H = \frac{B U_m^2}{g R_c \left(1 - \frac{1}{4} \left(\frac{R_b}{R_c} \right)^2 \right)}$ と表わされる。 $R_c = 25\text{cm}$ のケースで、この式より得られる値は $\Delta H = 2.51\text{cm}^2$ で実測値は $\Delta H = 2.57\text{cm}^2$ となり、子孫一致を示す。

以上、実験結果一部を考察したが詳細は諸論障害報告書を参照。

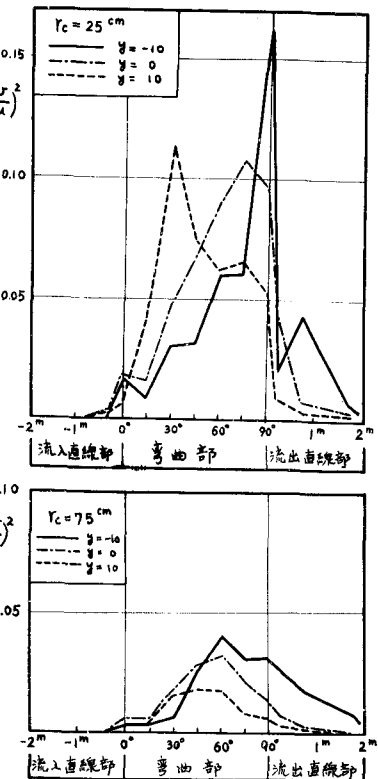


図.2 主流、副流のエネルギー変化